1 (17), 2008

УДК 621. 373

Физика

ДВУХБАРЬЕРНЫЕ РЕЗОНАНСНО – ТУННЕЛЬНЫЕ СТРУКТУРЫ: БИСТАБИЛЬНОСТЬ И ПОРОГОВЫЕ УСЛОВИЯ.

Ал.Г. Алексанян, Г.Р. Джамалян, Л.Р. Минасян

Показано, что в условиях резопансного туннелирования учет накопления заряда в квантовой яме приводит к виставильному режиму в зависимости прошедшего потока от плотности потока падающих частиц. Полученные формулы позволяют проводить оптимизацию параметров ДБРГС в соответствии с его назначением.

1. Двухбарьерные резонансно-туннельные структуры (ДБРТС) стали объектом пристального внимания теоретиков и экспериментаторов, во-первых, благодаря своим широким потенциальном техническим приложениям и во-вторых, из-за возникающих физических эффектов, имеющих фундаментальный характер.

В связи с возможным использованием ДБРТС как логического элемента цифровой вычеслительной техники, вопрос о внутренней бистабильности в подобных приборах представляет значительный интерес.

Идея резонансного тупнелирования, впервые высказанная Д.Бомом [1] и навлюдавшееся в [2], часто встречается в различных окластях физики. Суть его заключается в том, что если электрон тупнелирует через варьер, внутри которого существует потенциальная яма, то вероятность прохождения может стать порядка единицы.

Резоналсное туннелирование имеет отношение к таким явлениям, как, например, туннелирование с участием фононов [3], плазмонов [4], фотонов [5], Кулоновская влокада [6]. В прикладных целях подовные двухварьерные системы стали объектом исследований, в качестве источников отрицательного сопротивления для высокоскоростной электроники [7].

2. В настоящей работе рассматривается явление вистабильности в двухварьерной структуре в условиях резонансного тупнелирования. Случай прямоугольного потенциального варьера, внутри которого существует потенциальная яма, является одним из примеров эксперементальной реализации резонансного туннелирования в гетероструктурах с квантовыми размерными слоями и квантовыми точками [8].

Известно, что если на потенциал (рис. 1) падает поток электронов с энергией E_0 , то коэффициент прохождения равен [1].

$$T = \left[1 + 4M^4 Sin^2 \frac{1}{2} \left(\pi - \frac{J}{\hbar}\right)\right]^{-1}, \tag{1}$$

гле

$$M^2 = \exp \left[2 \int_{a}^{b} \frac{p_2}{\hbar} dx \right], J = 2 \int_{b}^{b} \frac{p_1}{\hbar} dx, p_2 = \sqrt{2m(U - E)}, p_1 = \sqrt{2mE}$$

Резонанс прозрачности осуществляется при выполнении следующих условий:

$$\pi - \frac{J}{\hbar} = -2\pi N \quad \text{HJH} \quad J_N = \left(N + \frac{1}{2}\right) 2\pi \hbar \tag{2}$$

При этом полуппирниа липии (пирина квазистационарного уровня в яме)

$$\Gamma=rac{\hbar}{\pi M^2},\quad au_0=rac{\partial J}{\partial E}$$
 - квазиклассический период движения частицы в яме.

Таким образом, появление частицы по другую сторону ямы задерживается на время - $\Delta t \approx \tau_0 M^2$. Это значит, что во временных масштавах Δt в яме будет происходить накопление заряда, электрическое поле которого будет едвигать квазистационарные уровни, вводя и выводя систему из резонанса.

Задача заключается в нахождении уравнений, связывающие плотность потока $I\psi_{\rm пад}I^2$ падающих и пропледних $I\psi_{\rm пр}I^2$ частиц с учетом накопления заряда. Другими словами, веобходимо определить коэффициент прохождения в эффективном потенциале, U'Эфф=U+е $\phi(x)$, где электростатический потенциал $\phi(x)$ системы, определяемый объемной плотностью заряда $\mathbf{n}(x)$ =- $\mathbf{e}I\psi_{\rm BH}I^2$ интенсивность электронной волны в яме) находим из уравнения Пуассона.

$$\frac{d^2\varphi}{dx^2} = -n(x)$$

$$\varphi(-b) = \varphi(b) = 0.$$
(3)

Плотность п(x) привлеженно считаем простоянной, так как в квазиклассическом привлижении, т. е. для случая вольших квантовых чисел волновая функция $\psi_{\rm BH}$ совершает много колебаний в яме и удобно рассмотреть среднюю плотность в данной области. Таким образом, для четных и нечетных состояний каждую из осцилирующих функций можно заменить на 1/2.

А припятые граничные условия являются следствием того, что накопление заряда в яме происходит вылизи резонанса и ψ_{BH} внутри ямы будет значительно больше, чем вне ее. Таким образом, из (3) получим

$$\varphi(x) = -\frac{\mathsf{e}|\Psi_{\mathsf{bol}}|^2}{4} (x - b)(x + b) \tag{4}$$

Квазистационарные уровни энергии в эффективной потенциальной яме находим из условия.

$$\frac{1}{h} \int_{-h}^{h} \sqrt{2m(E_N - U_{\odot \phi \phi})} dx = (N + \frac{1}{2})\pi$$
 (5)

Подставляя (4) в (5) после несложных преобразований получим

$$E_N = E_N^{-0} + \alpha \operatorname{I} \psi_{\text{BH}} \operatorname{P}, \tag{6}$$

$$E_N^{=0} = \frac{\pi^2 \hbar^2}{8mb^2} (N+1)^2$$
 - невозмущенияя энергия, $\alpha = \frac{e^2 h^2}{3}$

Разложим величину J около энергии резонанса в ряд, записав ее в виде

$$J-J_{N} = \mathcal{T}_{0}(E - E_{N}) \tag{6'}$$

Тогда выражение (1) для коэффициента прозрачности примет вид:

$$T = \left[1 + 4M^4 Sin^2 \frac{\tau_0}{2\hbar} (E - E_N)\right]^{-1}$$
 (7)

Коэффициент прозрачности связан с $\frac{|\psi_{sH}|^2}{|\psi_{nad}|^2}$ соотношением [1]

$$T = \frac{|\Psi_{\rm BH}|^2}{2M^2|\Psi_{\rm BHR}|^2} \tag{8}$$

а прошедний поток представляется как

$$|\psi_{np}|^2 = 2M^2 |\psi_{BH}|^2$$
(9)

Таким образом, если нам известно выражение для коэффициента прозрачности структуры в зависимости от некоторого нараметра, в нашем случае это E_N , и известна так же зависимость E_N от плотпости потока надающих электронов, то из (6)-(9) возможно следующие графические построения для

$$|\Psi_{\text{stel}}|^2 = \frac{E_N - E_N^{(0)}}{\alpha}$$
 (10)

$$|\psi_{\rm BH}|^2 = |\psi_{\rm nag}|^2 2M^2 \left[1 + 4M^4 Sin^2 \frac{\tau_0}{2\hbar} (E - E_N) \right]^{-1}$$
 (11)

Стационарное решения должны удовлетворять обеим зависимостям. Соответствующие графики предствлены на рис. 2а и 2ь. Полученные решения можно прокомментировать следующим образом.

Пусть квантовая яма "настросна" так, что один из его максимумов процускания несколько смещен относительно энергии палающих частиц (почти моноэнергетических), чтобы пропускание двухбарьерной системы при малых потоках было мало. При этом вольшая часть падающего потока отражается. Если нелинейная добавка к квазистационарным состоянням (6) в яме имеет знак подходящий для компенсаций начальной отстройки, то при некотором уровне входного потока интенсивность электронной вольы внутри ямы становится достаточной, чтовы сдвинуть ник пропускания в направлении энергии падающих частиц. Подобная "обратная связь" дальше двухьярьерной структуры, которая в свою очередь приводит к увеличивает пропускание увеличению сдвига квазистационарного уровня и т.д. В результате система переходит включенное состояние, ник пропускания которой быстро свинируется через энергию надающих частиц, пока не наступает равновесие, при котором ник, настроенный по другую сторону относительно энергии надающих частиц ставилизируется в этом новом положении "отрицательной обратной связью".

Дальнейнее изменение входного потока приводит лишь к очень незначительным изменениям входного потока, поскольку вольшой сдвиг квазистационарного уровня увеличивает расстройку и тем самым уменьшает уровень пропускания системы. Т.е. двухварьерная структура функцианирует как элетрический ограничитель. Если яма содержит несколько квазистационарных уровней, то при достаточно вольших потоках падающих частиц может навлюдаться мультиставильность. Во включенном состоянии (отстройка на ширине ника пропускания) в результате многократной интерференции электропных воли обеспечивается вольшая плотность вероятности в яме. Если падающий поток уменьнается, то плотность вероятности в яме удерживает ее во включенном состоянии при меньших значениях падающего потока, чем те, которые тревовались для включения системы.

В заключении отметим, что рассматриваемая виставильная система может проявлять неустойчивость при постоянном входном потоке, т.е. выходной поток вудет зависить от времени, даже если входная строго постоянна. Однако данный вопрос трубует отдельного рассмотрения, здесь лишь заметим, что такая неучтойчивость, на наш взгляд, аналогична неустойчивости, обнаруженный Иксдой [9] в оптических виставильных устройствах.

3. Характеристики ДБРТС в большей мерс определяются способом инжекции электронов внутрь структуры, которая обычно осуществляется путем приложения напряжения, смещающего систему квазиуровней структуры, с тем, чтобы один из уровней оказался в дотаточной близости от дна зоны проводимости входного конгакта ДБРТС, где обеспечиваются условия интенсивного перетекания электронов на этот уровень. Однако приложенное напряжение существенно нарушает симметрию ДБРТС, что ведет к уменьшению максимальной туннельной прозрачности Т по сравнению с Т=1 при полной симметрии структуры

Проведем учет влияния ассиметрии ДБРТС на нороговые значения падающего электронного потока для возникновения вистабильности. При этом, перепишем систему уравнений (1) и (8) описывающие прозрачность ДБРТС, придав ей следующую форму.

$$T = \frac{C_0}{1 + F \sin^2 \left(\gamma_0 \mathbf{I}_{s\mu_s} - \mathcal{S} \right)},\tag{12}$$

гле $C_0 \approx \cosh^{-2}[\alpha(d-2x_0)]$, -учитывает влияние смещения δ -функцианальной ямы от центра варьера на коэффицент прозрачности ДБРТС, когда энергия падающих электронов выравнивается с энергией квазиуровня в яме[10], $F = 2M_1^2 2M_2^2$,

$$\mathbf{M}_{1,2}^{2} = \exp\left[2\int_{a_{1,2}}^{b_{1,2}} \frac{P_{2}}{\hbar} dx\right], \qquad \gamma_{0} \mathbf{I}_{eh.} = \frac{\tau_{0}}{2\hbar} \alpha |\psi_{eh}|^{2}, \qquad -\delta = \frac{\tau_{0}}{2\hbar} \left(E_{N}^{0} - E\right)$$

$$T = \frac{\mathbf{I}_{gh}}{2\mathbf{M}^{2} \mathbf{I}_{0}}, \tag{13}$$

где $I_0 = |\psi_{noo}|^2$ -интенсивность надающего потока

Определим наклон кривой (12) т.е.

$$\frac{\partial \mathbf{T}}{\partial \mathbf{I}_{gy}} = \frac{\partial \mathbf{T}}{\partial \mathbf{\Phi}} \frac{\partial \mathbf{\Phi}}{\partial \mathbf{I}_{gy}} = -\frac{C_0}{\mathbf{\Phi}^2} \frac{\partial \mathbf{\Phi}}{\partial \mathbf{I}_{gy}} \quad , \tag{14}$$

где

$$\Phi = 1 + F \sin^2(\gamma_0 I_{GH_0} - \delta)$$

Очевидно, что максимальный наклон имеет место при выполнении условия

$$\begin{pmatrix} \partial^2 \mathbf{T} / \\ \partial \mathbf{I}_{za}^2 \end{pmatrix} = \mathbf{0} \ \mathbf{T} \cdot \mathbf{c}.$$

$$\frac{2C_0}{\Phi^3} \left[\frac{\partial \Phi}{\partial I_{au}} \right]^2 - \frac{C_0}{\Phi^2} \frac{\partial^2 \Phi}{\partial I_{au}^2} = 0 \tag{15}$$

$$\frac{\partial \Phi}{\partial I_{au}} = 2F\gamma_0 \sin(\gamma I_{au} - \delta)\cos(\gamma_0 I_{au} - \delta)$$
(16)

$$\frac{\partial^2 \Phi}{\partial I_{\text{\tiny BH.}}^2} = 2F \gamma_0^2 \left[\cos^2 \left(\gamma_0 I_{\text{\tiny BH.}} - \delta \right) - \sin^2 \left(\gamma_0 I_{\text{\tiny BH.}} - \delta \right) \right]$$
(17)

Далее введем обозначение $z=\sin^2(\gamma_0 I_{sh} - \delta)$, тогда (15) запишится как

$$\left[\frac{2}{1+Fz}\right]4F^{2}\gamma_{0}^{2}z(1-z)=2F\gamma_{0}^{2}(1-2z),:$$

$$2Fz^2 - (3F+2)z + 1 = 0 (18)$$

Решением уравнения (18) является

$$z = \frac{3F + 2 - \left[(F + 2)^2 + 8F^2 \right]^{1/2}}{4F} \tag{19}$$

где выбор знака « минус " обусловлен требованием, чтобы $z \le 1$ и чтобы $z \to 0$ при $F \to \infty$ (авсолютно непрозрачные барьеры) т.к. $\Phi = l + Fz$, то максимальный наклон имеет место при $z = z_0$. т. е.

$$\Phi_0 = \frac{3(F+2) - \left| (F+2)^2 + 8F^2 \right|^{\frac{1}{2}}}{4} = \frac{G(F)}{4}$$
 (20)

$$\frac{\partial \Phi}{\partial \mathbf{I}_{\infty}} = 2F \gamma_0 (z_0 - z_0)^{\frac{1}{2}} = \frac{\gamma_0 \left\{ (F+2)(F+2)^2 + 8F^2 \right\}^{\frac{1}{2}} - (F+2)^2 - 2F^2 \right\}^{\frac{1}{2}}}{\sqrt{2}} = \frac{\gamma_0 H(F)}{\sqrt{2}}$$
(21)

Таким образом, подставляя (21) и (20) в (14), для максимального наклона получаем:

$$\frac{\partial T}{\partial \mathbf{I}} = \frac{16C_0\gamma_0}{\sqrt{2}} \frac{H(F)}{[G(F)]^2}$$
(22)

Далее приравниваем (22) тангенсу наклона прямой (13) т.е.

$$\frac{16C_0\gamma_0}{\sqrt{2}}\frac{H(F)}{[G(F)]^2} = \frac{1}{\sqrt{FI_{tt}}}$$

Отсюда получаем выражение для порогового значения входного электронного потока I_0^{nsp} , при котором возникает бистабильность:

$$I_0^{\text{mag}} = \frac{\sqrt{2} \quad [G(F)]^2}{16C_0 \gamma_0 \quad \sqrt{F} H(F)}$$
 (23)

Определим критическую величину отстройки $\delta_c = E - E_N^0$ энергии падающих электронов от влижайщей квазистационарной энергии в яме.

Приравнивая выражения (12) и (13) при $I_0 = I_0^{nop}$ и Φ_0 заданном выражением (20), имеем

$$(\gamma_0 \mathbf{I}_{os})^{nop} = \frac{\sqrt{2}}{4} \frac{G(F)}{H(F)}$$
 (24)

Критическая величина отстройки получается из уравнений (19) и (24) т.е. $z_0 = \sin^2\left[(\sqrt{1-})^{nop} - \delta_0\right]$. Отсюда находим, что

$$\delta_c = \frac{\sqrt{2} G(F)}{4 H(F)} - \arcsin(-\sqrt{z_0})$$
 (25)

 $T.к. \frac{\partial T}{\partial I_{_{\mathit{BH}}}|_{\max}} > 0$, то согласно (16) $\frac{\partial \Phi}{\partial I_{_{\mathit{SH}}}} < 0$ и поэтому в (25) квадратный корень взят со

знаком "минус"

Полученное выражение (23) для порогового значения электронного потока I_0^{nop} позводяет проводить анализ качества структуры:

- Смещение ямы от пентра приводит к уменьшению C_0 и в соответствии (23) к увелечению I_0^{nop} .
- Увеличение коэффидента нелинейности γ_0 приводит к уменьщению I_0^{nop} , однако для этого необходимо увеличить T_0 , что отрицательно скажется на скоростные характеристики ДБРТС.
- Рост F приведет к уменьшению I^{nop}, однако при этом уменьшается прозрачность барьеров, что также отрицательно сказывается на выстродействие ДБРТС.

Таким образом полученные результаты позволяют проводить оптимизацию параметров ДБРТС в соответствии с его назначением.

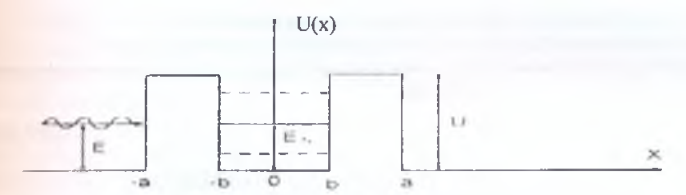


Рис. 1 Схематическое изображение энергитической диаграммы рассматриваемой двухбарьерной структуры.

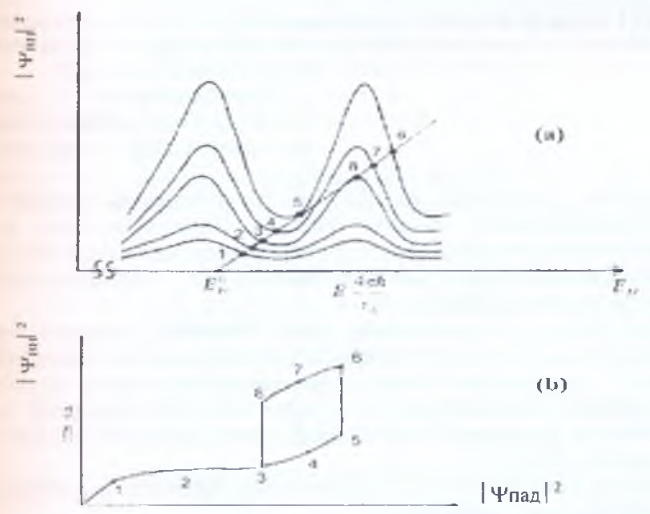


Рис. 2 Интенсивности электронной волны внутри ямы в зависимости от квазиуровня, при различных интенсивностях падающего потока.

Udthnthntd

Ցույց է տրված, որ ռեզոնանսա - թունելային պայմաններում, քվանտային փոսում լիցքի կոտակման հաշվարկումը բերում է երկկայուն (բիստաբիլ) ռեժիմին թափանցող հոսքի և ընկնող մասնիկների հոսքի կախվածության մեջ։ Հաշված է երկկայունության առաջացման շեմային պայմանները։

Литература

- Д.Бом, Квантовая теория, Изд. "Наука". М.: с. 337-339,1965.
- 2. Chang L.L., Esaki L., Tsu R., Appl Phys Lett& 24 593 1974.
- 3. Goldman V.J, Tsu D.C., Cunningham J.E. Phys Rev B 36, 7635, 1987.
- 4. Zhang et. Al. Phys. Rev. Lett. 72 3397 1994.
- 5. Alexsanian Al. G., Alexsanian A.G. Int. J. Infrared and Millimetr Waves, v. 14 N10, 1993.
- 6. Averin D.V. Likharev K.K. in Mesoscopic Phenomena in Solids, Amsterdam Elsevier, p.173,1991.
- 7. А.Г. Алексанян, Э.М.Беленов и др. ЖЭТФ N10, с.2671. 1982.
- 8. Т.Ин. и др. УФН, 168, N2, 132 1998.
- 9. lkeda K. Opt Commun& 30, 257, 1979.
- 10. А.А. Абрикосов, УФН, 168, N 6, с. 683, 1998.

АрГУ, кафедра физики